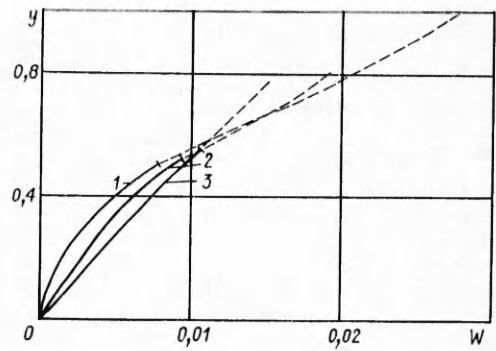


Р и с. 2



Р и с. 3

ния аппроксимационного алгоритма при фиксированном значении x ; при этом происходит существенное увеличение времени расчета.

ЛИТЕРАТУРА

1. Hertz C. II., Hermanrud B. A liquid compound jet // J. Fluid Mech.—1983.—V. 131.—P. 271.
2. Radev S., Gospodinov P. Numerical treatment of the steady flow of a liquid compound jet // Intern. J. Multiphase Flow.—1986.—V. 12, N 6.
3. Шкадов В. Я. Некоторые методы и задачи теории гидродинамической устойчивости.—М.: Изд-во МГУ, 1973.
4. Епихин В. Е., Шкадов В. Я. Течение и неустойчивость капиллярных струй, взаимодействующих с окружающей средой // Изв. АН СССР. МЖГ.—1978.—№ 6.
5. Сисоев Г. М., Тальдрик А. Ф., Шкадов В. Я. Течение пленки вязкой жидкости по поверхности вращающегося диска // Инж.-физ. журн.—1986.—Т. 51, № 4.
6. Gottlieb D., Orszag S. A. Numerical analysis of spectral methods: theory and applications.—Philadelphia, 1977.
7. Пашковский С. Вычислительные применения многочленов и рядов Чебышева.—М.: Наука, 1983.
8. Калиткин Н. Н. Численные методы.—М.: Наука, 1978.

Поступила 9/XI 1987 г.

УДК 532.516 : 772.96

ИССЛЕДОВАНИЕ СТИМУЛИРОВАННОЙ ЛОКАЛЬНЫМ ОБЛУЧЕНИЕМ И ЕСТЕСТВЕННОЙ КОНВЕКЦИИ В ТОНКОМ СЛОЕ ИСПАРЯЮЩЕЙСЯ ЖИДКОСТИ

B. B. Низовцев

(Москва)

Капиллярная конвекция в жидкостях малой вязкости наблюдается при перепадах в поверхностном напряжении порядка 0,1 мН/м. Она проявляется при многих технологических процессах. В слое сохнущего лакокрасочного покрытия или стекловидной эмали, а также при экстракции в системах жидкость — жидкость или ректификации многокомпонентных смесей возникает конвекция, приводящая к формированию рельефа на границе раздела фаз [1—4]. Конвекцию инициируют флуктуационно возникающие градиенты поверхностного напряжения.

Высокая чувствительность жидкостей к сдвиговым напряжениям была использована в решениях таких технических задач, как разделение примесей [5], получение рельефных фотографических изображений [6, 7], осаждение вещества в заданном месте подложки [8] или поверхностное легирование металлов [9]. Перечисленные технические решения основаны на капиллярной конвекции, управляемой термическим действием излучения [10, 11]. Несмотря на широкую область возможного применения вынужденной капиллярной конвекции, в литературе практически отсутствуют количественные данные по конвекции при действии излучения и ее сопоставлению с spontaneousными конвективными процессами. Ниже изложены результаты изучения капиллярно-конвективной неустойчивости слоя жидкости в режиме естественного испарения и при локальном действии лазерного излучения малой мощности.

1. Материалы и методики. Исследована конвекция в растворах красителя кристаллического фиолетового в полярных органических растворителях (см. таблицу). Краситель контрастировал изображение рельефа на поверхности слоя и одновременно являлся тензоактивной и поглощающей свет добавкой. Термокапиллярную конвекцию вызывали действием гауссова пучка излучения гелий-неонового лазера мощностью 1 мВт при диаметре пучка в плоскости слоя от 0,8 до 2,4 мм. Концентрация красителя около 10 г/л выбрана из расчета достижения в области 633 нм оптической плотности, равной 1 в слое толщиной не более 0,1 мм. Слои от 0,1 до 1,0 мм наносили на подложки из полиметилметакрилата (ПММА), силикатного стекла или латуни с теплопроводностями соответственно 0,2; 1,0 и 100 Вт/(м·К). Скорость движения частиц жидкости на поверхности и размер конвективной ячейки определяли с помощью кино- и фотосъемки в отраженном свете слоя суспензии ликоподия в растворе. Частицы ликоподия трассировали линии тока жидкости. Рельеф на поверхности слоя определяли путем микрофотометрирования фотоизображения слоя, полученного в проходящем свете.

2. Спонтанные конвективные ячейки в испаряющемся слое. В режиме естественного испарения, как и при действии излучения, можно ожидать проявления конвекции температурной и концентрационной природы, поскольку коэффициент поверхностного натяжения σ зависит как от температуры, так и от концентрации раствора. Разница $\delta\sigma$ в поверхностном натяжении между участками поверхности слоя с различными температурой T и концентрацией C равна

$$(2.1) \quad \delta\sigma = \sigma'_T \delta T + \sigma'_C \delta C = \delta\sigma_T + \delta\sigma_C.$$

Здесь σ'_T и σ'_C — средние коэффициенты температурной и концентрационной зависимостей поверхностного натяжения. Для исследованных растворов $\sigma'_T \approx -0,1 \text{ мН}/(\text{м} \cdot \text{К})$, $\sigma'_C \approx 0,1 \text{ Н} \cdot \text{л}/(\text{м} \cdot \text{кг})$ [14].

При испарении растворителя происходят снижение температуры и рост концентрации раствора на поверхности. Оценки для этилового спирта на силикатном стекле, выполненные по методике [15], дали разницу в температуре между нижней и свободной поверхностями жидкого слоя около 15 К. При расчете предполагали, что перемешивания жидкости не происходит и нижняя граница слоя имеет температуру окружающей среды, так как находится в тепловом контакте со стеклом, теплопроводность которого во много раз больше, чем у спирта. В реальных условиях температурная разница меньше из-за конвекции в слое, однако, будучи следствием непрекращающегося испарения и причиной самой конвекции, эта разница всегда положительна. Наряду с температурным в слое имеет место и концентрационный поперечный градиент, обусловленный испарением растворителя с поверхности. Таким образом, при испарении слой находится в состоянии избытка поверхностной энергии, так как вблизи открытой межфазной границы находится жидкость с большим поверхностным натяжением, чем в глубине слоя. Это состояние неустойчиво и приводит к формированию циркуляционных конвективных потоков, деформирующих поверхность.

Ячейки на испаряющемся слое удается наблюдать лишь в отсутствие растекания, что обеспечивали нанесением слоя на подложку в виде круглого стекла диаметром около 2 см. Острый край подложки удерживал жидкость в пределах стекла, препятствуя обычному в этих случаях растеканию [14] или наползанию на стенку кюветы [16]. На рис. 1 показано изображение участка слоя бутанола толщиной 0,3 мм через 2 мин после нанесения раствора на стекло. Светлым участкам изображения соответствуют углубления на поверхности слоя. Ячейки имеют полигональную и неустойчивую форму, так как из-за осесимметричных поверхностных градиентов температуры и концентрации происходят слабый, но постоянный центробежный перенос вещества по слою и накопление его на периферии подложки [17]. Наиболее выразительные и устойчивые конвективные

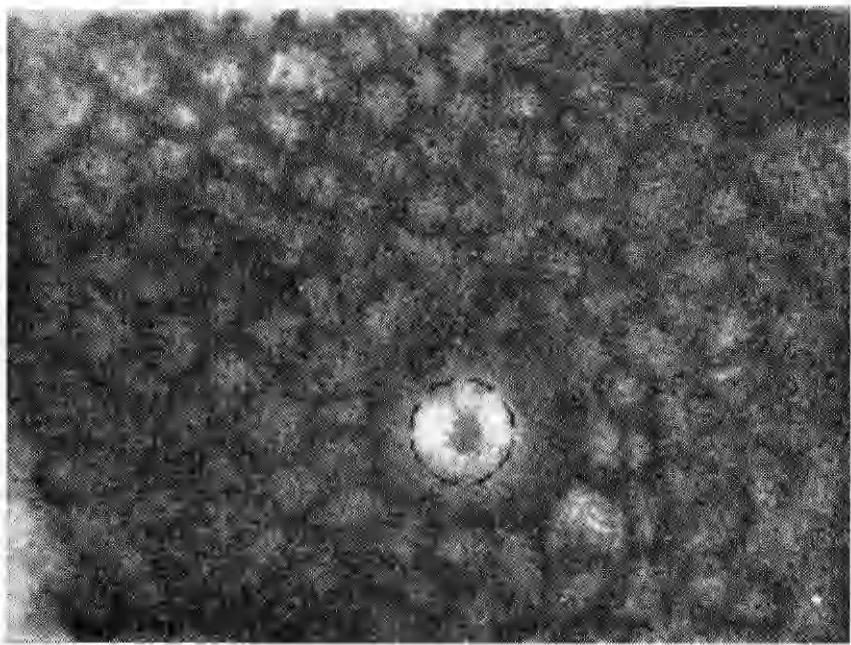


Рис. 4

структуры формируются в слоях жидкостей из средней части таблицы. В слое бутанольного раствора толщиной $0,3+0,03$ мм ячейки с периодом $0,9+0,1$ мм возникали за 2—3 мин. Для более летучего этанола время оформления ячеек составляет около 1 мин, при этом в слое толщиной $0,15+0,03$ мм они имели период $0,4+0,1$ мм. Период ячеек всегда примерно в 3 раза большие толщины слоя, что справедливо вообще для ячеек этого типа [18]. Из микрофотометрических определений следует, что глубина рельефа над спонтанными ячейками не превышает 0,5 мкм. На заключительных стадиях испарения растворителя ячейки разрушались конвекцией, которая сопровождает высыхание [14].

3. Конвекция при локальном облучении. При облучении можно наблюдать конвекцию различных характеров в зависимости от соотношения абсолютных значений слагаемых в (2.1). При $|\delta\sigma_T| > |\delta\sigma_C|$ имеет место отток раствора из облучаемого участка, а при обратном соотношении происходит подтекание пленки раствора в облучаемую зону слоя, обусловленное концентрационной конвекцией. Феноменология второго случая рассмотрена в [8, 19].

Первая ситуация реализуется в начале облучения и сохраняется многие минуты в случае слоев толщиной более 0,3 мм, где концентрация раствора в облучаемой зоне не повышается, так что $\delta C \approx 0$, поэтому $\delta\sigma \approx \delta\sigma_T < 0$. Уменьшение поверхностного натяжения приводит к возникновению центробежных приповерхностных потоков, которые вследствие конечной вязкости жидкости формируют рельеф в виде углубления, окруженного валиком. Разность капиллярных давлений между торOIDальной зоной валика и центром облучаемого участка поверхности обуславливает обратные потоки в нижней части слоя. В стационарном состоянии массопереносы противоположными потоками уравниваются и формируется конвективная ячейка со стационарными распределениями скоростей, температур и профилем поверхности. На рис. 2 показано осевое сечение углубления для слоя раствора в бутаноле толщиной 0,3 мм на стекле. Стрелками обозначены границы пучка, l — расстояние от его оси. Асимметричный характер профиля обусловлен приповерхностной конвекцией в слое, которую полностью подавить не удается. В связи с этим, а также из-за соседних спонтанно возникших ячеек испарительной природы, дополнитель-

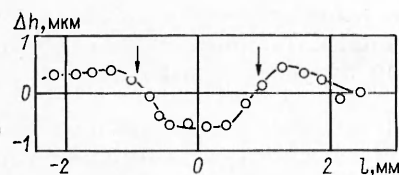


Рис. 2

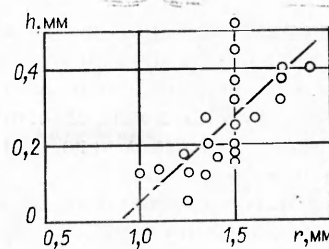


Рис. 3

по деформирующих поверхность, положение невозмущенной поверхности жидкости (нулевая линия) показано на рис. 2 в некоторой степени условно.

Радиус r ячейки слабо зависит от вязкости и определяется в основном толщиной слоя h и диаметром пучка излучения. На рис. 3 прямая соответствует пучку с радиусом 0,9 мм. Граница пучка определена по интенсивности излучения, равной 0,1 от максимальной. При выборе критерия руководствовались, в частности, тем, что в этом случае при устремлении толщины слоя к пулю радиус ячейки приближается к радиусу пучка. Важно отметить, что при малой мощности излучения диаметр ячейки слабо зависит от теплопроводности подложки и подводимой мощности. Так, при радиусе пучка 0,4 мм уменьшение мощности в 5 раз приводит к сокращению размера ячейки лишь на 20 %. С точностью 20 % для всех материалов подложки размеры ячеек совпадают. Разброс экспериментальных точек на рис. 3 обусловлен низкой точностью измерения как толщины неустойчивого слоя, так и размера участка слоя, охваченного конвекцией. На фотографических изображениях границу ячейки не всегда удается определить достаточно точно (рис. 4). Интересно сравнить соотношение между толщиной слоя и радиусом ячейки (рис. 3) с такой же характеристикой для спонтанных ячеек. Выше отмечено, что при испарительной конвекции в слоях малой толщины радиус ячейки составляет около $1,5 h$. В случае вынужденной конвекции для толщин от 0,1 до 0,5 мм линейная аппроксимация диаграмм рассеяния $r = r_p + 1,5 h$, где r_p — радиус пучка, а коэффициент при h имеет среднее квадратическое отклонение 0,3.

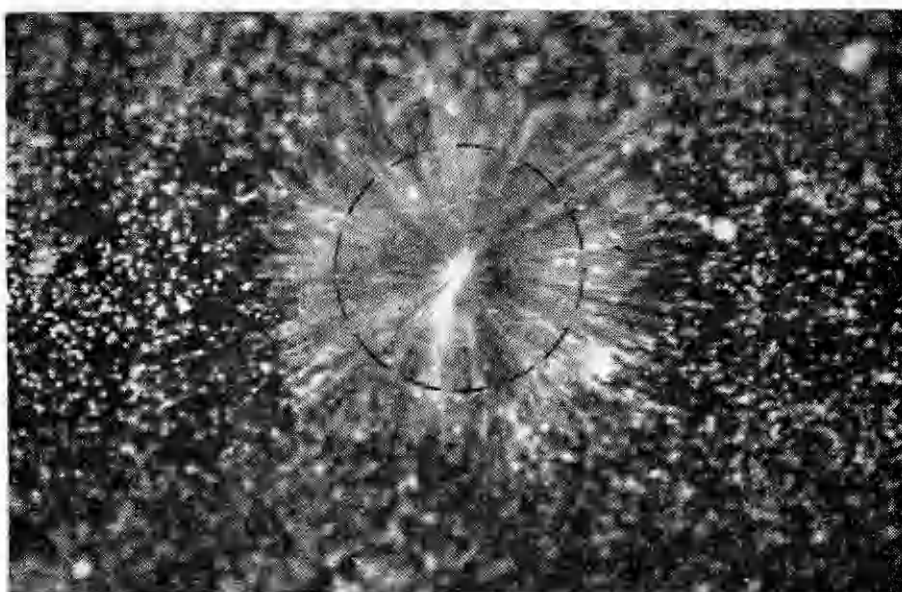


Рис. 4

Создаваемая локальным облучением ячейка влияет на расположение соседствующих с нею ячеек, оставляя неизменным их период (см. рис. 1). Штрихами на фото обозначена зона облучения диаметром 1,8 мм. Изображение получено после многократного контратипирования исходного негатива, в результате чего при некотором огрублении изображения повысился его контраст.

4. Массоперенос при конвекции. В таблице приведены экспериментальные значения скорости v_n движения жидкости на поверхности ячейки в точке, соответствующей перегибу на боковой стенке углубления при слое толщиной 0,35 мм на стекле. Уменьшение мощности в 5 раз сопровождается примерно пятикратным уменьшением скорости. Для бутанола при толщине 0,15 мм $v_n = 0,9 \pm 0,2$ мм/с. Рост вязкости и уменьшение толщины слоя отрицательно сказываются на скорости конвекции.

Непосредственные наблюдения показали, что в центре ячейки вертикальное движение происходит в очень узком канале. При диаметре пучка около 2 мм канал имеет диаметр около 0,2 мм. В связи с этим можно положить полную длину горизонтального участка конвективного пути равной r . Для оценки скорости на поверхности слоя предположим, что в поперечном сечении конвективного цикла под точкой перегиба па расстоянии от оси пучка, примерно равном $r/2$, наблюдается линейное распределение скорости по вертикали в центробежном и параболическое в обратном потоках [20]. Последний обусловлен разностью давлений $p_2 - p_1$ в периферийной и центральной областях ячейки. При этом на подложке и на высоте $2a$ над подложкой скорости равны нулю. Расположим начало вертикальной оси z на высоте a над подложкой. Тогда

$$(4.1) \quad v_1 = B(z - a), \quad a \leq z \leq h - a;$$

$$(4.2) \quad v_2 = -\frac{a^2 [1 - (z/a)^2]}{2\mu} \frac{(p_2 - p_1)}{b}, \quad |z| \leq a.$$

Здесь v_1 и v_2 — скорости центробежного и обратного потоков; b — расстояние между центральным мениском (собственно углублением) и мениском валика, или радиус тороида, примерно равный r ; B — константа. Обратный поток под точкой перегиба на поверхности слоя обусловлен средним градиентом лапласова давления: $(p_2 - p_1)/b \approx (\sigma/r)(1/R_2 + 2/R_1)$ (R_2 и R_1 — средние радиусы кривизны торoidalного валика и углубления в центре).

При исследованных толщинах слоя гравитационной конвекцией можно пренебречь, так как статическое число Бонда, определяемое как отношение гидростатических сил к капиллярным, составляет не более 0,1. К такому же выводу о преобладающей роли капиллярных сил при лазерной обработке поверхности металла пришли авторы [21].

Из условия сшивки производных функций (4.1) и (4.2) в точке a следует $B = (a\sigma/r\mu)(2/R_1 + 1/R_2)$. Исходя из равенства объемных расходов в центробежном и обратном потоках, получаем аналогично [22] $a = h/3$. Скорость v_n частиц на поверхности слоя находим из выражения

$$(4.3) \quad v_n = (h^2\sigma/(9r\mu))(2/R_1 + 1/R_2).$$

Радиусы R определяли по графикам, аналогичным рис. 2. Из-за причин, указанных в п. 3, относительная ошибка при этом составила около 30 %. Для бутанола при толщинах 0,25 и 0,35 мм средние значения радиусов кривизны равны и составляют около 0,5 м. Выражение (4.3) дает значения скоростей соответственно 0,25 и 0,5 мм/с. Расчетные значения близки экспериментальным, равным соответственно $0,3 \pm 0,1$ и $2,0 \pm 0,5$ мм/с.

Непосредственные наблюдения и оценки свидетельствуют, что на прямолинейных участках конвективного пути поток имеет ламинарный характер. Даже для жидкостей малой вязкости, у которых можно ожидать скорость на поверхности порядка 10 мм/с, число Рейнольдса Re не превышает 2 для центробежного потока и 25 для вертикальной трубки в центре ячейки; для центробежного потока $Re = av_n\rho/\mu$. При оценке значения

Re для вертикального потока скорость подсчитывали, исходя из предположения равенства объемных расходов в центральном цилиндрическом канале диаметром 0,2 мм и в обратном потоке на расстоянии $r/2$ от центра. С учетом того что $a = h/3$, среднюю скорость обратного потока принимали равной $v_p/4$, тогда в вертикальном канале она составляет около 60 мм/с.

5. Рельеф на дне углубления. В верхней части рис. 5 показано распределение излучения в сечении пучка, отраженного углублением. Распределение получено на высоте 1 м над слоем, диаметр внешнего кольца 15 мм. Картина имеет явно интерференционное происхождение. Теоретически этот вопрос рассмотрен в [23], однако в экспериментальном отношении исследован лишь качественно. Авторами [23, 24] было предположено, что получаемая картина есть результат интерференции пучков, отраженных собственно углублением и выпуклым тороидальным зеркалом валика вокруг него. Рис. 2, однако, свидетельствует, что тороидальный валик не может проявиться в интерференционной картине, так как находится за пределами пучка излучения.

Микрофотометрические измерения на изображениях деформированного участка поверхности, полученных после контратипирования и повышения контраста, обнаружили в центре углубления слабо выраженную выпуклость. На рис. 5 представлена микрофотограмма дубль-позитива изображения ячейки, профиль которой приведен на рис. 2. Как видно, в целом рельеф на поверхности слоя имеет форму чашки. В центре деформированного участка поверхности частицы жидкости резко изменяют направление движения с вертикального вверх на горизонтальное (показано штрихами). При этом гидродинамическое давление остановленной струи уравновешивается лапласовым давлением выпуклого мениска. В центральной части рис. 5 приведены реконструкция профиля поверхности, сделанная по микрофотограмме, и ожидаемое распределение освещенности E в сечении пучка, отраженного одной стороной профиля. Интерференция таких распределений дает картину, показанную в верхней части рис. 5. Расходимость отраженных пучков и, следовательно, диаметр интерференционной картины определяются кривизной тороидальной ложбинки на дне углубления. По этой причине он растет с уменьшением толщины слоя (ближением стенок углубления) и ростом мощности излучения или снижением теплопроводности подложки (увеличением скорости конвекции).

6. Формирование конвективной ячейки. Развитие конвекции изучено путем анализа изменений в геометрии пучка, отраженного углублением.

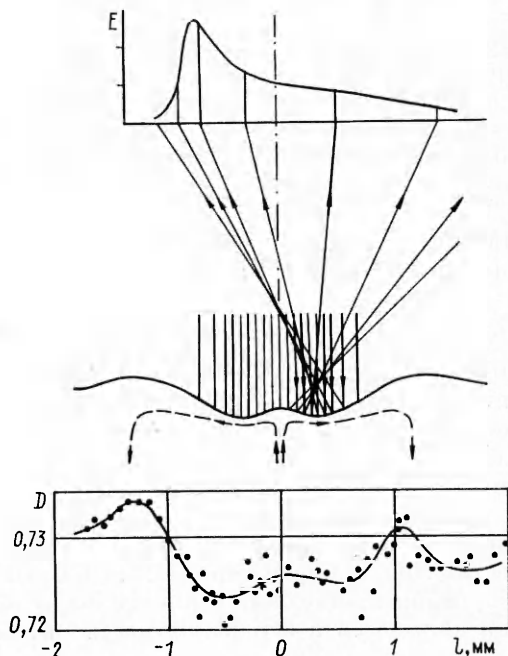
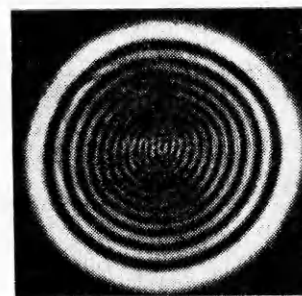


Рис. 5

Растворитель	$\mu, 10^{-3}$ Па·с (температура, °С) [12]	$\sigma, \text{мН/м}$	$\sigma'_T, \text{мН}/$ $(\text{м} \cdot \text{К})$ [13]	$v_{II}, \text{мм/с}$	$k, \text{с}^{-1}$
Ацетон	0,32 (20)	23,7	-0,11	—	—
1, 2-Дихлорэтан	0,80 (25)	32,5	-0,14	—	—
Этанол	1,08 (25)	22,8	-0,08	4,8+1,6	3,1
Бутанол	2,95 (20)	24,6	-0,09	2,0+0,5	1,7; 2,5; 3,6
Октанол	7,6 (25)	27,5	-0,08	0,5+0,2	1,8
Циклогексанол	68 (20)	26,5	-0,10	0,25+0,05	2,0

Поведение диаметра интерференционной картины обусловлено изменением кривизны поверхности слоя и, значит, отражает динамику формирования ячейки. Расстояние от слоя до экрана выбирали достаточно большим (~ 3 м), чтобы на нем отраженный пучок был расходящимся в течение большей части времени формирования ячейки. В таблице представлены значения константы скорости k образования ячеек в слоях толщиной 0,3 мм на стекле. В случае бутанола приведены константы для слоя на ПММА, стекле и латуни соответственно. При обработке данных предполагали, что диаметр Φ картины изменяется со временем t по закону

$$(6.1) \quad \Phi = \Phi_c [1 - \exp(-kt)]$$

(Φ_c — стационарное значение диаметра). Обычно результаты хорошо описывались выражением (6.1) вплоть до значений $\Phi = 0,8 \Phi_c$, после чего процесс несколько замедлялся. Из таблицы следует, что время достижения стационарного состояния слабо зависит от вязкости жидкости и теплопроводности подложки.

При малой толщине слоя и летучем растворителе развитие термо-капиллярного конвективного процесса осложняется испарением жидкости. При толщине слоя 0,2 мм на ПММА и мощности 1 мВт после 20 с облучения происходит разрыв слоя вследствие накопления тепла, усиления конвекции и испарения растворителя. При этом конвекция изменяет

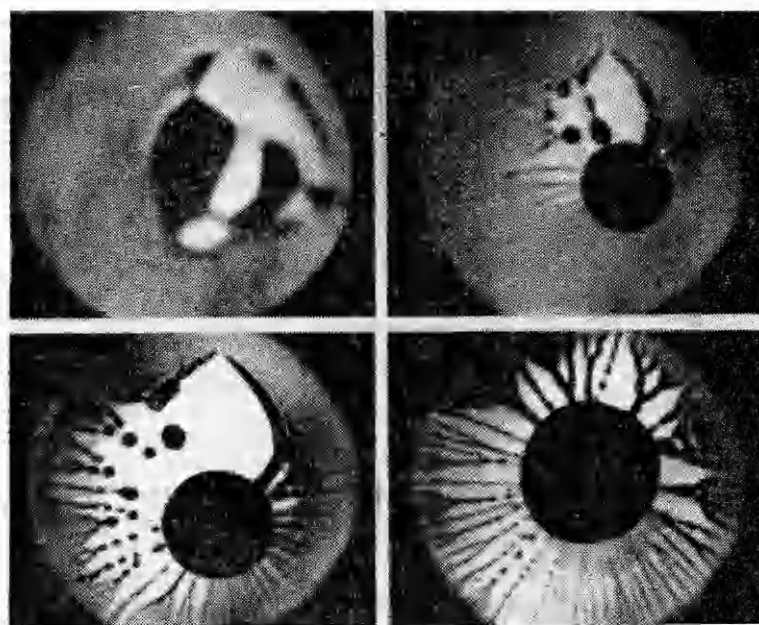


Рис. 6

свой характер, превращаясь из термокапиллярной в концентрационную, так как в выражении (2.1) по абсолютному значению второй член становится больше первого. В центре облучаемой зоны на обнаженной подложке собирается капля концентрата, которая поглощает энергию излучения и создает вокруг себя на подложке осесимметричный градиент температуры. Последний поддерживает центростремительное подтекание жидкости к капле в виде струй и мелких капель. На рис. 6 показано развитие концентрационной конвекции после разрыва слоя на облучаемом участке диаметром 0,6 мм. При небольшом объеме газовой фазы и длительном облучении в центре облучаемой зоны накапливается растворенное вещество, а на холодных участках подложки остается чистый растворитель [5, 19].

Автор выражает благодарность Г. П. Лурье за содействие в проведении исследований.

ЛИТЕРАТУРА

1. Anand J. N., Balwinsky R. Z. Surface deformation of thin coatings caused evaporative convection // J. Colloid Interface Sci.—1969.—V. 31, N 2.
2. Яковлев А. Д. Химия и технология лакокрасочных покрытий.—Л.: Химия, 1981.
3. Островский М. В. О возникновении крупномасштабной пульсирующей ячеистой конвекции на поверхности раздела фаз при экстракции в системах жидкость — жидкость // Коллоид. журн.—1976.—Т. 38, № 5.
4. Александров И. А. Массопередача при ректификации и абсорбции многокомпонентных смесей.—Л.: Химия, 1975.
5. Безуглый Б. А., Галашин Е. А. и др. Разделение примесей в жидкости при тепловом действии лазерного излучения // Письма в ЖТФ.—1976.—Т. 2, вып. 18.
6. Безуглый Б. А., Галашин Е. А. Термотензография — новый способ получения изображений // Журн. науч. и прикл. фото- и кинематографии.—1982.—Т. 27, вып. 1.
7. А. с. 1113774 СССР. Репрографический светочувствительный материал/Б. А. Безуглый, Н. П. Нетесова, В. В. Низовцев // Опубл. в БИ, 1984, № 34.
8. Безуглый Б. А., Галашин Е. А., Федотов А. Н. Исследование явлений фотоконденсации и фотокристаллизации // Журн. науч. и прикл. фото- и кинематографии.—1977.—Т. 22, вып. 1.
9. Боровский И. Б., Городской Д. Д. и др. О поверхностном легировании металлов с помощью непрерывного лазерного излучения // Физика и химия обраб. материалов.—1984.—№ 1.
10. Безуглый Б. А. Капиллярная конвекция, управляемая тепловым действием света, и ее применение в способах регистрации информации: Автореф. дис. ... канд. физ.-мат. наук.—М.: МГУ, 1985.
11. Суходольский А. Т. Светокапиллярные явления // Изв. АН СССР. Сер. физ.—1986.—Т. 50, № 6.
12. Варгафтик Н. Б. Справочник по теплофизическим свойствам газов и жидкостей.—М.: Наука, 1972.
13. Поверхностные явления и поверхностно-активные вещества: Справочник/Под ред. А. А. Абрамзона и Е. Д. Щукина.—Л.: Химия, 1984.
14. Низовцев В. В., Нетесова Н. П. О растекании капли этапольного раствора кристаллического фиолетового // Коллоид. журн.—1985.—Т. 47, № 5.
15. Фукс Н. А. Испарение и рост капель в газообразной среде.—М.: Изд-во АН СССР, 1958.
16. Пшеничников А. Ф., Токменина Г. А. Деформация свободной поверхности жидкости термокапиллярным движением // Изв. АН СССР. МЖГ.—1983.—№ 3.
17. Низовцев В. В., Нетесова Н. П. Капиллярная конвекция при растекании и испарении капли раствора поверхностно-активного вещества // Коллоид. журн.—1985.—Т. 47, № 6.
18. Джозеф Д. Устойчивость движений жидкости.—М.: Мир, 1981.
19. Безуглый Б. А., Низовцев В. В. Исследование явления образования капель при облучении систем капиллярных пленок растворов // Вестн. МГУ. Сер. 3, Физика, астрономия.—1981.—Т. 22, № 6.
20. Берд Р., Стюарт В., Лайтфут Е. Явления переноса.—М.: Химия, 1974.
21. Cline H. E. Surface rippling induced in thin film by a scanning laser // J. Appl. Phys.—1981.—V. 52, N 1.
22. Сапочкин Ю. В. Установившееся термокапиллярное движение в горизонтальном слое жидкого металла, локально нагреваемом сверху // Изв. АН СССР. МЖГ.—1984.—№ 6.
23. Da Costa G., Calatroni J. Transient deformation of liquid surface by laser-induced thermocapillarity // Appl. Optics.—1979.—V. 18, N 2.
24. Da Costa G. Thermocapillary self-focusing of a laser beam // Phys. Lett.—1980.—V. 80a, N 4.

Поступила 12/X 1987 г.